

花崗岩岩盤に関する2、3の変形特性について

本州四国連絡橋公団第二建設局○山県 守
株式会社応用地質調査事務所 武内俊昭

1. まえがき

本州四国連絡橋Dルートの地質調査は構造物の設計、施工に対する資料を提供する目的で、その変形や強度、掘削性などについて種々行なわれて来た。本ルート沿いに分布する構造物基礎岩盤の大部分はいわゆる花崗岩類に属しており、組成の違いもそれらの間で幾分みられるが、前述の工学的性質を大きく左右するものはそれらの風化状況の違いである。本ルートでおこなわれてきた種々の調査結果は、いずれ風化状況とその工学的性質の関連としてまとめ報告したいと思つてゐるが、ここでは、これらの中から、花崗岩の一般的性質として表わされるその変形特性について2、3のべてみたい。

海中構造物の基礎岩盤調査は、海上ボーリング孔を利用した色々な物理、力学的調査であるが、これらの調査結果を有効に生かすために、従来から陸上の岩盤調査として一般化されている。横坑を利用してジャッキ試験を陸上の類似岩盤で行なつてゐる。今回この報告では海底岩盤に対しておこなわれたボーリング孔を用いた孔内載荷試験による岩盤の変形性と陸上横坑内で実施されたジャッキ平板載荷試験、孔内載荷試験などの結果による変形性についてそれらの関連や花崗岩岩盤の特性について考察した結果をのべる。

2. 変形試験地点の岩盤状況

前述したように、ルートに分布する基礎岩盤は大部分花崗岩であり、岩盤の工学性を左右する要素はその風化による岩盤状況である。

表-1 岩盤等級基準表

これらの岩盤は、ボーリングコアの肉眼鑑察や掘進状況を中心にして、露頭における状況も加味し、その風化状況を表-1の岩盤等級基準にしたがつて6つの等級に区分している。岩盤の工学的性質はそれぞれこの等級との対比で検討されているが、すべての量がこの等級と一対一的な対応関係にあるとは限らない。したがつて個々の具体的な

| | 強 度 | | 不 均 一 性 | | コ ア | | ダイヤモンドビットで削除するときの感触 | 色 調 |
|----------------|-----------------------------|---|--------------------------|---------------------------|------------------------|-----------------|-------------------------------|------------------|
| | 硬 度 | 風 化・変 質 | 割れ目の状態 | 断層の状態 | 状 態 | RQD % | | |
| D | ハンマーの強打で鈍い音を発し、容易に削れる。 | 完全にマサ状風化(被覆部に玉ねぎ状岩塊を残す。各々の微物は結合力を失っていない)。 | 消失 | すべり面を含むほかシロナイトとなっている断層中心部 | 軋上状、砂状 底角レキ状 | 0 1 10 | 握り易い | 褐 青 |
| C _L | ハンマーの強打で鈍い音を発し、ところに強い岩塊を残す。 | 岩塊内部まで風化しているが岩の形態を作つ | 剥離し削れ目が多い | 断層附近の発達の跡 | 角+チ状 岩片状 部分的に短縫状 | 10 1 30 | 握り易いがアラブドリルをおこしやすい 15m/h以上 | 褐 褐 |
| C _M | 岩塊内部は崩壊でなかなか削れない | 有色微物の埋蔵は褐色を帯びている | 剥れ目多いは5~10%風化変質している | 粘土シームをしばしば挟む | 塊状 は径L=1.0~2.0m | 1.0 1 7.0 | 軟も握り易い 15m/h以上 | 淡 褐 |
| C _H | ハンマーで強打すると金属音を発し削れにくい。 | 軟ね断層で坚硬な岩盤 | 剥れ目多いが若干風化変質 | | 塊状 は径L=2.0~5.0m | 3.0 1.0 | 握り易い 10m/h以上 | 淡 褐 灰 灰 |
| B | ハンマーで強打すると金属音を発し削れにくい。 | 全般に未風化的新鮮な岩盤 | 確く剥れ目多いに漂泊な風化またはヘーキックが発達 | | 塊状 は径L>5.0m | 7.0 3 1.0 | やや握りにくい 8.0m/h以上 | 乳 灰 灰 |
| A | ハンマーで強打しても削れない | 未風化的堅硬な岩盤 | 剥れ目の発達は薄で、あっても密着 | | | 0.5m/h以上 | | 灰 青 灰 |

スについては、試験値を重視するが、一般的見方としてこの岩盤等級の持つ岩盤の各工学的量が定められている。ここで考察される変形特性はこの岩盤等級との対比を意図したものではなく、変形挙動を考察するもので、表に記述されている等級の内容を参考にしている。この他、構造物との関連では、基礎岩盤中の断層の分布やその性質も重要な要素であるが、今回の考察では特にこれについてはふれていない。

3. 変形試験の方法

実施した変形試験の装置や方法についてのべる。

ボーリング孔を利用する孔内載荷試験は、ボーリング孔径6.6%と10.1%で用いられる2種類のものである。原理は、円筒状のゴムチューブを液体を加圧して膨張させ、ボーリングの孔壁を加圧変形して岩盤の変形係数を求める。加圧部分の長さ(深度方向)は両者とも50cmで、最大の加圧能力は前者が50t、後者

は 150 級である。前者は中圧 LLT、後者は高圧孔内載荷試験機とよばれている。加圧速度はいずれも、 $1 \text{kg/cm}^2/\text{min}$ で 50、100、150 kg/cm^2 の各段階でくり返す階段荷重の Loading Pattern を用いている。図-1 に高圧孔内載荷試験で得られた加圧～変位曲線の一例を示す。

横坑内で実施したジャッキ平板載荷試験は、水平及び鉛直の 2 方向についておこない、用いた加圧板は直径 40 cm の剛体円形のものである。Loading Pattern は図-2 の加圧～変位曲線の一例に示されるように、60 ton (47.7 級)、120 ton (95.5 級)、180 ton (143.2 級) におけるくり返し階段荷重とした。水平方向載荷は左右両側壁ごとに変位量を測定し、鉛直方向載荷は、踏面の変位のみを測定している。また、加圧速度は $4 \text{kg/cm}^2/\text{min}$ である。横坑の断面は $2.0 \text{m} \times 2.0 \text{m}$ で、この横坑を掘削する直前に横坑予定断面のほど中央の位置に、横坑と同じ方向に沿つて孔径 101 % の水平ボーリングを掘削し、その中に上述したと同様な方法で高圧孔内載荷試験を実施した。

4. 試験結果

4.1 海底岩盤における孔内載荷試験結果

橋脚予定地点の海底岩盤に対して、ボーリング孔を利用しておこなった変形試験の結果を図-3 に示す。図-3 は試験から求めた変形係数 (以下 E(LLT)) を表す。それを表-1 にもとづく岩盤等級に対してプロットしたものである。ここで E(LLT) はボアソン比を 0.3 と仮定して、ボーリングの深度方向と垂直な平面における 2 次元平面歪状態から得られる次の式から計算した。

$$E(LLT) = (1 + \nu) r_m \frac{\Delta P}{\Delta r}$$

ただし、 ν ：ボアソン比 ($= 0.3$)

r_m ：加圧による半径の中間変位半径

ΔP ：加圧増分

Δr ：加圧による半径増分

また、図中、小黒点は中圧 LLT による値、大白丸は高圧孔内載荷試験機による値である。

変形係数は 600kg/cm^2 から 100000kg/cm^2 の範囲に分布しているが、大別的にみて肉眼による岩盤の分類と相関を持つている。また、個々の岩盤等級毎にみると E(LLT) のバラツキ巾は約 1 オーダーに及んでいる。中圧 LLT と高圧孔内載荷試験の結果を比べてみると前述した約 1 オーダーのバラツキ巾の中に含まれて特に明瞭な差異はみられないが、詳細にみるとバラツキ巾の中でやや値の大きい方に高圧孔内載荷試験の値 (以後 E(LLT) とよぶ) が片寄っている。

つぎに、図-4 に、中圧 LLT による変形係数と降伏荷重の関係を示す。ここで云う降伏荷重は、この試

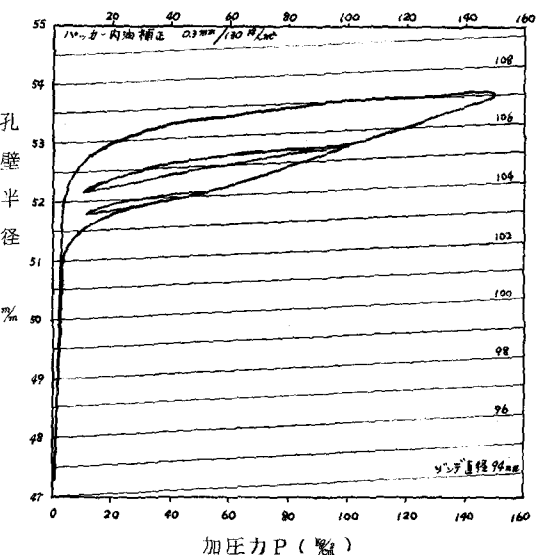


図-1 孔内載荷試験結果例

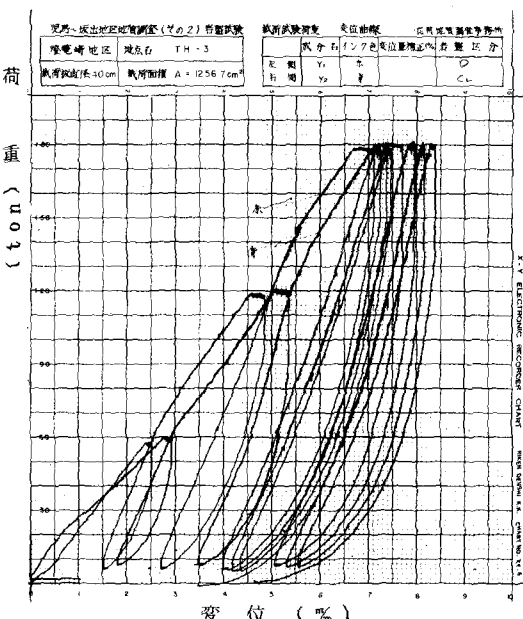


図-2 ジャッキ平板載荷試験結果例

験法による加圧力と孔壁変位の関係を示す線が、直線部分から、変位のより大きくなる方向に変曲する点をさしているものである。図

—4は中圧L
LTによるも

のなので、加圧力が 5 kg/cm^2 以下であり、それ以内に表われる降伏点であるので当然不良な風化のすんだ岩盤が対象となつてゐる。これらの関係は図上ではほど直線関係にある。

4.2 横坑内における岩盤試験結果

図-5にジャツキ平板載荷試験による処女変形曲線とくり返し曲線による変形係数についてそれぞれ、水平方向と鉛直方向についてプロットしたものを示す。

これらの点は全体としては、それぞれ変形係数が大きくなると $n=1$ に近くなる傾向を示している。すなわち処女曲線とくり返し曲線による変形係数の差異がみられなくなつてゐる。また、黒丸で示した水平方向すなわち左右両側壁間の載荷と、鉛直方向すなわち天端と踏前間の載荷の傾向は殆んど差がみられない。

図-6には同様な処女曲線とくり返し曲線による変形係数の関係がプロットされているが、この図では、ジャツキ平板載荷試験の結果と孔内載荷試験の結果が比較されている。すなわちジャツキ平板載荷試験については、前出の図-5と同様なものであるが、横坑掘削直前に実施した水平ボーリング孔内でおこなつた高圧孔内載荷試験の結果を同時にプロットしたものである。この図をみると両者の違いは大きいものではないが、白丸で示した高圧孔内載荷試験の結果がやゝ下側に位置している。すなわち、全般に高圧孔内載荷試験の結果による処女曲線及びくり返し曲線の方がそれらの間の差異が少ないと示してゐる。

5. 変形特性に関する考察

上に述べた幾つかの変形性に対する結果を考察して、これらの試験地点の花崗岩岩盤についてその変形特性を試験方法の関連において出来るだけ明らかにしてみたい。

5.1 海底岩盤について

図-3でみられた如く、肉眼鑑察による岩盤等級は非常に巾広いバラツキをみせているが大局的には関連が見出せる。変形性は岩石の硬軟やキレツの頻度、性質、方向など多くの要素に左右されるが、それらの要素を考えた総合判定が岩盤等級として示される。図-3では岩盤等級を直線的に等間隔的な感覚で区分して片対数上直線的な勾配を示している。これは肉眼判定をする場合の基準要素である岩盤の硬軟と割れ目の状

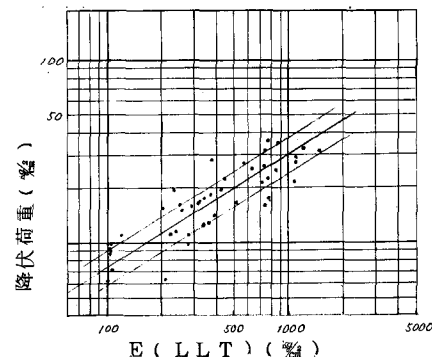


図-4 変形係数と強度特性の関係

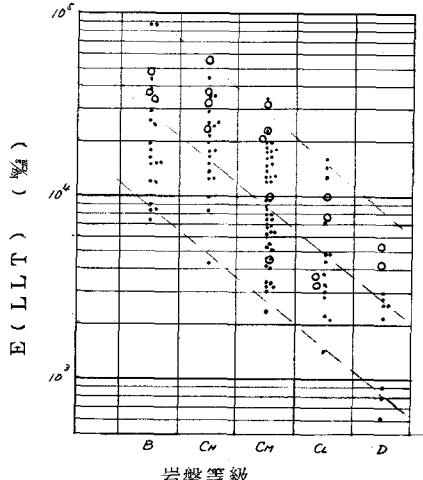


図-3 孔内載荷試験結果

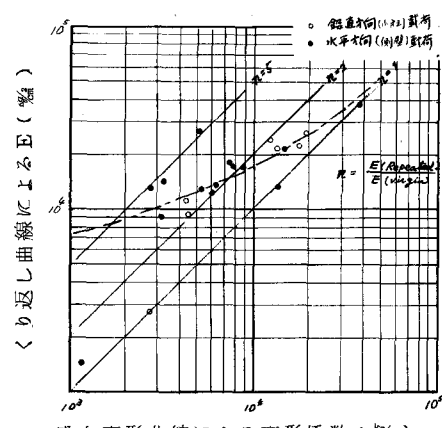


図-5 加圧方向による変形性の比較

態を考えた場合、後述する孔内載荷試験の結果がその載荷機構から考えて割れ目の状態により大きく影響を受けると思われることから、ここでも岩盤等級が良くなるにつれて急激にE(LLT)の値が増加するのではないかと考えられる。

図-4で50kg/cm²までの載荷について、変形係数と降伏荷重の関係を示したが、この関係を延長すると150kg/cm²までの載荷ができる高圧孔内載荷試験ではおよそ9000kg/cm²程度の変形係数程度の岩盤まで降伏荷重が得られることになるが図-3の結果では、この範囲は非常に少ない。ここに示す降伏荷重が岩盤の割れ目の要素を考えた場合、通常のジャッキ試験等で得られる降伏荷重に比べてどの様な関係にあるかは、今後の問題であろう。

5.2 ジャッキ平板試験と岩盤特性

図-5で示される結果から、今回のデータを得た横坑内のジャッキ試験では、載荷の方向による差異はあまりみられない。すなわち、載荷試験における処女曲線による変形係数とくり返し曲線による変形係数の差は、岩盤の割れ目と掘削によるのみに大きく影響を受けるものと思われるが、図-5中に示した点線の近傍に両方の値が集まり水平、鉛直両方向で殆んど差はないと言える。これは図-6の結果から掘削によるゆるみもそれ程大きなものではないといえるので、もともと存在した割れ目の影響による要素が大きく、それらは10kg/cm²の変形係数の岩盤(B~Aの岩盤等級)で殆んど影響しなくなることを示している。また、点を連ねた曲線がn=1に近づくことから岩石自体の塑性的性質は殆どないと云える。

図-7の結果から岩盤の掘削によるゆるみの影響がジャッキ試験では僅かにあるといえる。図中で白丸の孔内載荷試験は横坑掘削前におこなつた結果であり、図の曲線の僅かな違いはそれを示しているものと考えられる。しかし、それらの方法による違いは10kg/cm²程度の変形係数を有する岩盤(CM級で代表される)では殆どないと云える。両者の差異は変形係数が小さくなる程、大きくなる傾向にあるのは、風化の著しい岩盤ほど掘削に注意すべきことを示している。

図-7は、ジャッキ試験地点と1m以内の距離で測定された孔内載荷試験の結果をプロットしたものである。これをみると、10kg/cm²程度のところで両者の値はほど等しいが、その前後で両者の大小関係は逆転している。これは載荷機構から考えて、割れ目の少ない岩盤のE(LLT)は岩石自体のもつ変形挙動により近く、逆に割れ目が多い風化岩盤では孔内載荷による円周方向の引張り要素が影響しているものと考えられる。

6. 結語

ジャッキ試験と孔内載荷試験のデータから載荷機構に関連した岩盤の変形特性についてのべたが、これらは特に割れ目の要素による影響が大きいと思われる。引き続き今後の研究により明らかにしていきたい。図-7 孔内載荷試験とジャッキ試験の変形係数

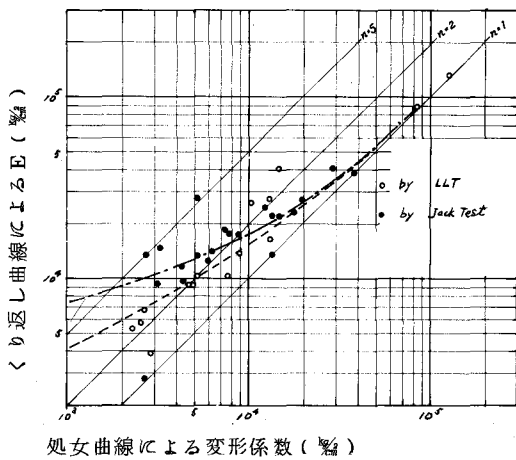
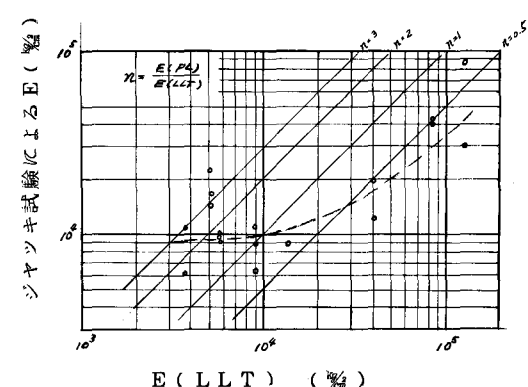


図-6 ジャッキ試験と孔内載荷試験による変形特性の差異



On some Characteristics of Deformation in a Granitic ground

By Mamoru Yamagata
Toshiaki Takeuchi

In this report authors describe some characteristics of deformation of granitic rocks.

Deformation of granitic rocks was measured in a bore hole by lateral loading test and in a test pit by plate loading test. The maximum loads of the lateral loading are 50 kg/cm^2 and 150kg/cm^2 . The load of the plate loading test was nearly equal to the above mentioned values.

The lateral load test was used in base rocks on the bottom of sea and in test pits on land.

The deformation coefficient or Youngs modulus of rocks measured by lateral loading test ranges from 500kg/cm^2 to $100,000\text{kg/cm}^2$ which corresponds to the geological classification of rocks.

Deformation coefficients of rocks in test pits by plate loading test and lateral loading test were denoted by E_o by obtained from virgin stress-strain curves and E from repeated stress-strain curves.

The relation between E_o and E is expressed as below. No difference of deformation is found as for the direction of load, that is, in the direction connecting both sides of the test pit, and in the direction connecting the roof and floor of the test pit.

The ratio of E_o to E approaches unity according to increase of values of E_o and E . Value E by the lateral loading test and by the plate loading test in the same rock ground are coincident at $10,000\text{kg/cm}^2$.

In the range of E values larger than the above value, E by lateral loading test is larger, and in the range of smaller E values, E by plate loading test becomes larger.